

E-TEAM SQUADRA CORSE  
Settore  
**POWERTRAIN**



# Contents

<b>1 Capitolo 1</b>	<b>2</b>
1.1 Stato dell'arte . . . . .	2
1.2 Relazione tra coppia e corrente del motore . . . . .	2
1.2.1 Distribuzione della corrente nei due motori . . . . .	2
1.3 Differenziale elettronico . . . . .	3
1.4 Differenziale con potenziometri . . . . .	3
1.5 Differenziale con sensori avanzati . . . . .	6
1.6 Obiettivo raggiunto? . . . . .	11
1.6.1 si, a che livello? . . . . .	11
1.6.2 no, perché ? . . . . .	11
<b>2 Capitolo 2</b>	<b>12</b>
2.1 Analisi telemetria test . . . . .	12
2.1.1 Buti 24/11/2024 . . . . .	12
2.1.2 Buti 20/11/2024 . . . . .	12
2.1.3 Dati Competizioni 2023/2024 . . . . .	13
<b>3 Capitolo 3</b>	<b>14</b>
3.1 Miglioramenti per il prossimo anno . . . . .	14
3.1.1 consigli che sono venuti in mente dopo . . . . .	14
3.1.2 errore di base da non ripetere . . . . .	14

# Chapter 1

## Capitolo 1

Fausto Antonelli 2024/25

### 1.1 Stato dell'arte

### 1.2 Relazione tra coppia e corrente del motore

Quello che segue è una sintesi di quanto per ora fatto da altri settori, che commenterò in base agli attuali sviluppi del veicolo.

La relazione tra coppia  $T$  (in Nm) e corrente  $I$  (in A) è data da:  $T = k \cdot I$ , dove  $k$  è la costante di coppia del motore. Anche se il valore esatto di  $k$  non è noto con precisione (datasheet e misure discordanti), si può considerare un valore iniziale di riferimento:  $k = 0,479$ .

#### 1.2.1 Distribuzione della corrente nei due motori

Entrambi i differenziali spartiscono la corrente (e quindi la coppia) tra i due motori secondo una variabile detta  $\Delta I$ . La relazione tra corrente richiesta e posizione del pedale è **lineare**:

- 0% pedale  $\rightarrow 0$  A (0 Nm)
- 100% pedale  $\rightarrow$  corrente massima (in Autocross: 230 A)

#### Differenziale 1: Skidpad

#### Ingressi

- Velocità angolari ruote anteriori:  $\omega_L, \omega_R$
- Corrente massima richiesta  $I_{\max}$  (da posizione pedale)

#### Velocità veicolo stimata

$$v = \frac{\omega_L + \omega_R}{2} \cdot r \cdot 3.6 \quad r := \text{raggio della ruota in metri.} \quad (1.1)$$

#### Legge per la spartizione della corrente

$$\Delta I = k \cdot 3.6 \cdot r \cdot v \quad k := \text{costante di regolazione nel range [5, 8].} \quad (1.2)$$

#### Corrente inviata ai motori

$$I_L = I_{\max} \cdot \left(1 - \frac{\Delta I}{2}\right), \quad I_R = I_{\max} \cdot \left(1 + \frac{\Delta I}{2}\right). \quad (1.3)$$

**Commento:** L'idea di fondo è corretta e questo schema di ripartizione è lo stesso impiegato nell'attuale versione di differenziale.

Purtroppo non trovo accurata la "Legge per la spartizione" in quanto non tiene di conto della possibilità che le ruote anteriori subiscano bloccaggi o che queste non copino perfettamente l'asfalto a causa di disconnessioni o asperità.

Quindi concettualmente l'idea è ottima ma viste le condizioni dei tracciati che ci si presentano questa soluzione non performerebbe. Discorso analogo si può fare per il prossimo modello:

## Differenziale 2: EVO

### Ingressi

- Velocità angolari ruote:  $\omega_L, \omega_R$
- Corrente massima richiesta  $I_{\max}$

### Legge per la spartizione della corrente

$$\Delta I = k \cdot (\omega_R - \omega_L) \quad k \in [0.007, 0.01]. \quad (1.4)$$

Nota: il valore corretto di  $k$  potrebbe essere circa un ordine di grandezza inferiore.

### Saturazione per sicurezza

$$\Delta I \in [-1.5, +1.5]. \quad (1.5)$$

### Corrente inviata ai motori

$$I_L = I_{\max} \cdot \left(1 + \frac{\Delta I}{2}\right) \quad I_R = I_{\max} \cdot \left(1 - \frac{\Delta I}{2}\right). \quad (1.6)$$

## 1.3 Differenziale elettronico

La progettazione di questo differenziale elettronico e quindi la struttura finale totalmente sono totalmente condizionate dalla disponibilità di input utili che i sensori montati a bordo possono darci.

Nella forma finale il differenziale si basa, oltre che sui dati fisici fissi del veicolo, sui dati dei 4 potenziometri affiancati al sistema sospensivo e ai dati di velocità delle singole gomme

L'idea alla base del funzionamento del differenziale è calcolare l'angolo di sterzo del veicolo ad un tempo  $t$  sapendo quanto sono caricati o scaricati gli ammortizzatori in quel momento.

Inoltre il differenziale svolge altre due attività:

- **SlipControl** : confrontando la velocità del veicolo (ottenuta indirettamente come media delle velocità delle ruote anteriori) con la velocità delle singole ruote posteriori ed in caso di discrepanze tagliando in maniera proporzionale la corrente al motore designato.
- **RearBias** : sempre leggendo i dati dei 4 ammortizzatori possiamo capire l'assetto assunto dal veicolo ad ogni istante perciò questa funzione limita la coppia massima disponibile a seconda se l'asse posteriore è più o meno caricato.

## 1.4 Differenziale con potenziometri

Il nocciolo teorico del differenziale è la seguente formula, che si occupa di tradurre la forza esercitata dai 4 ammortizzatori nell'angolo di sterzo che il veicolo sta seguendo:

$$\text{steeringAngle} = \frac{lf * 2 * k_{spring} * delta_{lat} * \cos(\theta)}{mass * vehicleSpeed^2},$$

dove:

- $lf$  : passo del veicolo,
- $k_{spring}$  : costante elastica delle molle montate a bordo
- $delta_{lat}$  : differenza di forza esercitata dalle molle tra lato destro e sinistro
- $mass$  : massa del veicolo,
- $vehicleSpeed$  : velocità del veicolo.

Considerando che l'auto stia percorrendo una curva a sinistra allora lo schema delle forze a cui è soggetta è il seguente:

Di conseguenza avremo:  $steeringAngle = \frac{l_f}{R}$  con  $R$  angolo di sterzo. Bilanciando quindi le forze otteniamo:

$$F_{centripeta} = \frac{m * v^2}{R} = 2 * k_{spring} * delta_{lat} * cos(\theta) = F_{sospensioni}.$$

$$\frac{1}{R} = \frac{2 * k_{spring} * delta_{lat} * cos(\theta)}{m * v^2}.$$

$$steeringAngle = \frac{l_f * 2 * k_{spring} * delta_{lat} * cos(\theta)}{m * v^2}.$$

```

1 function [perc_RL, perc_RR] = DiffBaseV3(sRL, sRR, sFL, sFR, wRL, wRR, wFL, wFR)
2
3 % === Parametri base ===
4 k_spring = 30000; % rigidezza molla [N/m]
5 theta = deg2rad(10); % inclinazione ammortizzatore
6 mass = 320; % massa veicolo [kg]
7 g = 9.81; % gravit [m/s^2]
8 lf = 2.5; % Passo totale del veicolo [m]
9 lr = 1.6; % Carreggiata posteriore [m]
10 wheelRadius = 0.225; % raggio ruota [m]
11 hCG = 0.3; % altezza baricentro
12
13 % === Conversione rpm m/s ===
14 wRL = wRL * wheelRadius * 2 * pi / 60;
15 wRR = wRR * wheelRadius * 2 * pi / 60;
16 wFL = wFL * wheelRadius * 2 * pi / 60;
17 wFR = wFR * wheelRadius * 2 * pi / 60;
18
19 % === Velocit stimata veicolo (da anteriori) ===
20 vehicleSpeed = (wFL + wFR) / 2;
21 vehicleSpeed = max(1, vehicleSpeed); % minimo per evitare div. per 0
22
23 % === Forze verticali dalle sospensioni ===
24 d_FL = sFL * cos(theta);
25 d_FR = sFR * cos(theta);
26 d_RL = sRL * cos(theta);
27 d_RR = sRR * cos(theta);
28
29 avg_Rear = (d_RR + d_RL)/2;
30 avg_Front = (d_FL + d_FR)/2;
31 delta_long = avg_Rear - avg_Front; % sbilanciamento asse longitudinale
32 avg_Left = (d_FL + d_RL)/2;
33 avg_Right = (d_FR + d_RR)/2;
34 delta_lat = avg_Left - avg_Right; % sbilanciamento asse laterale
35
36 rearBias = (delta_long)/(avg_Rear/2 + avg_Front/2); % distribuzione dinamica del carico
37 steeringAngle = (lf * 2 * k_spring * delta_lat)/(mass * vehicleSpeed^2);
38 % steeringAngle = (lf * delta_d * lr * k_spring) / (mass * vehicleSpeed^2 * hCG);
39 steeringAngle = max(min(steeringAngle, pi), -pi); % +/-180
40
41 slip_RL = (wRL - vehicleSpeed) / max(vehicleSpeed, 0.1); % perc. slittamento post. Sx
42 slip_RR = (wRR - vehicleSpeed) / max(vehicleSpeed, 0.1); % perc. slittamento post. Dx
43
44 torque_bias_factor = 0.2 + 0.1 * rearBias;
45 mario = min(torque_bias_factor * steeringAngle, 0.5); % mario
46
47 if delta_lat < 0
48     perc_RL = (1 - mario) * (1 - abs(slip_RL)); % curva a sinistra
49     perc_RR = (1 + mario) * (1 - abs(slip_RR));
50 else
51     perc_RL = (1 + mario) * (1 - abs(slip_RL)); % curva a destra
52     perc_RR = (1 - mario) * (1 - abs(slip_RR));
53 end

```

## 1.5 Differenziale con sensori avanzati

Supponendo di avere una gamma più vasta di input potremmo implementare questa versione:

```
1 function [torqueLeft, torqueRight] = controlTorqueDistributionNessy3(...
2     wheelSpeedLeft, wheelSpeedRight, wheelSpeedLeftFront, wheelSpeedRightFront, ...
3     steeringAngle, accelerometerXYZ, brakeForce)
4
5 %% 1. Parametri veicolo e costanti
6 maxTorque = 300; % Coppia massima in Nm
7 vp.t2 = 1.6; % Carreggiata posteriore in metri
8 vp.l = 2.5; % Passo totale del veicolo in metri
9 tireFriction = 1.0; % Coefficiente di attrito del pneumatico
10 wheelRadius = 0.225; % Raggio della ruota in metri
11 massVehicle = 320; % Massa del veicolo in kg
12 rearBias = 0.2; % Sbilanciamento virtuale verso il retrotreno
13
14 %% 2. Conversione velocit ruote in m/s
15 wheelSpeedLeft = rpmToSpeed(wheelSpeedLeft, wheelRadius);
16 wheelSpeedRight = rpmToSpeed(wheelSpeedRight, wheelRadius);
17 wheelSpeedLeftFront = rpmToSpeed(wheelSpeedLeftFront, wheelRadius);
18 wheelSpeedRightFront = rpmToSpeed(wheelSpeedRightFront, wheelRadius);
19
20 %% 3. Calcolo velocit veicolo (pesata sul posteriore)
21 frontWeight = 1 - rearBias;
22 vehicleSpeed = frontWeight * (wheelSpeedLeftFront + wheelSpeedRightFront) / 2;
23
24 %% 4. Calcolo dello slip relativo (approssimato linearmente)
25 tireSlipLeft = computeSlip(wheelSpeedLeft, vehicleSpeed);
26 tireSlipRight = computeSlip(wheelSpeedRight, vehicleSpeed);
27
28 %% 5. Calcolo del raggio di curvatura
29 radiusOfCurvature = computeCurvature(steeringAngle, vp.l);
30
31 %% 6. Calcolo della forza di trazione disponibile
32 forceTraction = maxTorque / wheelRadius; % Forza = coppia / raggio
33 brakeForce = abs(brakeForce);
34
35 %% 7. Fattori di aderenza longitudinale e laterale
36 lateralFactor = computeLateralFactor(vehicleSpeed, radiusOfCurvature, tireFriction, massVehicle);
37 longitudinalFactor = computeLongitudinalFactor(accelerometerXYZ(2), brakeForce, massVehicle, tireFriction, forceTraction);
38
39 %% 8. Trasferimento di carico in curva
40 accelLong = (forceTraction - brakeForce) / massVehicle;
41 loadTransfer = computeLoadTransfer(vehicleSpeed, radiusOfCurvature, massVehicle, 0.3, vp.t2, accelLong);
42
43 %% 9. Coppia massima regolata
44 adjustedTorque = maxTorque * lateralFactor * longitudinalFactor;
45
46 %% 10. Distribuzione della coppia in curva
47 if steeringAngle > 0 % Curva sinistra
48     torqueLeft = adjustedTorque * (1 - loadTransfer);
49     torqueRight = adjustedTorque * (1 + loadTransfer);
50 elseif steeringAngle < 0 % Curva destra
51     torqueLeft = adjustedTorque * (1 + loadTransfer);
52     torqueRight = adjustedTorque * (1 - loadTransfer);
53 else % Rettilineo
54     torqueLeft = adjustedTorque / 2;
55     torqueRight = adjustedTorque / 2;
56 end
57
58 %% 11. Limitazione della coppia
59 % torqueLeft = max(0, min(torqueLeft, maxTorque));
```

```

60 % torqueRight = max(0, min(torqueRight, maxTorque));
61
62 %% 12. Correzione della coppia in base allo slip
63 torqueLeft = torqueLeft * (1 - tireSlipLeft);
64 torqueRight = torqueRight * (1 - tireSlipRight);
65 end
66
67 %% Funzioni di supporto
68
69 function speed = rpmToSpeed(rpm, wheelRadius)
70     speed = rpm * 2 * pi * wheelRadius / 60;
71 end
72
73 function slip = computeSlip(wheelSpeed, vehicleSpeed)
74     slip = abs(wheelSpeed - vehicleSpeed) / max(vehicleSpeed, 1);
75     slip = min(max(slip, 0), 1); % Limite tra 0 e 1
76 end
77
78 function radius = computeCurvature(steeringAngle, wheelbase)
79     if abs(steeringAngle) > 1e-2
80         curvature = tan(steeringAngle) / wheelbase;
81         radius = 1 / curvature;
82     else
83         radius = 1000000000;
84     end
85 end
86
87 function lateralFactor = computeLateralFactor(vehicleSpeed, radiusOfCurvature,
88     tireFriction, massVehicle)
89     if isnan(radiusOfCurvature)
90         Fc = massVehicle * vehicleSpeed^2 / radiusOfCurvature;
91         maxLateralForce = tireFriction * massVehicle * 9.81;
92         lateralFactor = min(Fc / maxLateralForce, 1);
93     else
94         lateralFactor = 0;
95     end
96 end
97
98 function longitudinalFactor = computeLongitudinalFactor(accely, brakeForce,
99     massVehicle, tireFriction, forceTraction)
100    accelBrake = brakeForce / massVehicle;
101    accelLat = abs(accely);
102    maxAccel = tireFriction * 9.81;
103    if (accelLat + accelBrake) >= maxAccel
104        longitudinalFactor = 0;
105    else
106        longitudinalFactor = forceTraction / (massVehicle * (maxAccel - accelLat -
107            accelBrake));
108        longitudinalFactor = min(max(longitudinalFactor, 0), 1);
109    end
110 end
111
112 function loadTransfer = computeLoadTransfer(vehicleSpeed, radiusOfCurvature,
113     massVehicle, cgHeight, vp_t2, accelLong)
114     if isnan(radiusOfCurvature)
115         loadTransferLat = (massVehicle * vehicleSpeed^2 * cgHeight) / (
116             radiusOfCurvature * vp_t2 * 9.81);
117         loadTransferLong = (massVehicle * accelLong * cgHeight) / vp_t2;
118         loadTransfer = loadTransferLat + loadTransferLong;
119     else
120         loadTransfer = (massVehicle * accelLong * cgHeight) / vp_t2;
121     end
122 end

```

Listing 1.1: Distribuzione della coppia con aderenza e curvatura

Questo differenziale non è mai stato montato nella macchina per mancanza dei sensori richiesti. Ho quindi fatto uno script che emula degli input verosimili per vere come si sarebbe comportato il differenziale.

#### waring per test futuri:

- Non è stato facile fare una decente funzione per acquisire l'angolo di sterzo da un file *.mat*, quindi ne lascio 2, una nello script e una commentata sotto.
- I grafici che riportano i risultati nel test sono da leggere nella loro totalità come andamento qualitativo, i dati in input non erano pesati e quindi i valori di output possono essere molto elevati.

```

1 %% Carica il tracciato
2 track_file = 'Hockenheim.mat';
3 track_data = load(track_file);
4 track_fields = fieldnames(track_data);
5 track_points = track_data.(track_fields{1});
6 x_interp = track_points(:, 1);
7 y_interp = track_points(:, 2);

8
9 %% Parametri veicolo
10 maxTorque = 600;
11 vp.t2 = 1.6;
12 vp.l = 2.5;
13 tireFriction = 1.0;
14 wheelRadius = 0.225;
15 massVehicle = 320;
16 slip_ratio = 0.05;
17 dt = 0.01;
18 mu = 1.0;
19 g = 9.81;
20 v_max = 30;
21 tau = 0.5;

22 num_points = length(x_interp);
23
24
25 %% Inizializzazione variabili
26 vehicleSpeed = zeros(1, num_points);
27 torqueLeft = zeros(1, num_points);

28
29 torqueRight = zeros(1, num_points);
30 wheelSpeedLeft = zeros(1, num_points);
31 wheelSpeedRight = zeros(1, num_points);
32 wheelSpeedLeftFront = zeros(1, num_points);
33 wheelSpeedRightFront = zeros(1, num_points);
34 brakeForce = zeros(1, num_points);
35 accelerometerXYZ = zeros(num_points, 3);
36 steeringAngles = zeros(1, num_points);
37 curvature = zeros(1, num_points);
38 radiusCurvature = zeros(1, num_points);

39
40 %% Simulazione del tracciato
41 for i = 2:num_points-1
42     dx = x_interp(i) - x_interp(i-1);
43     dy = y_interp(i) - y_interp(i-1);
44     ddx = x_interp(i+1) - 2*x_interp(i) + x_interp(i-1);
45     ddy = y_interp(i+1) - 2*y_interp(i) + y_interp(i-1);

46
47     denom = max((dx^2 + dy^2)^(3/2), 1e-6); % Evita divisioni per zero
48     if abs(denom) < 1e-6
49         curvature(i) = 0; % Curvatura nulla se il denominatore troppo piccolo
50     else
51         curvature(i) = 2 * (dx * ddy - dy * ddx) / denom;
52     end

53
54     radiusCurvature(i) = max(1e-3, 1 / max(abs(curvature(i)), 1e-6)); % Limita il
55         raggio di curvatura

```

```

55
56     steeringAngles(i) = atan(vp.l / (radiusCurvature(i) + 0.5 * vp.t2 * tan(
57         steeringAngles(i)))); % Angolo di sterzata
58     steeringAngles(i) = steeringAngles(i) * sign(curvature(i));
59
60     % steeringAngles(i) = atan(vp.l / radiusCurvature(i)) * sign(curvature(i));
61
62     % Calcolo della velocit massima consentita dalla curvatura
63     V_lim = min(v_max, sqrt(mu * g * radiusCurvature(i))); % Velocit massima
64         consentita
65     V_lim = min(V_lim, sqrt(maxTorque / (massVehicle * wheelRadius))); % Limite
66         basato sulla potenza del motore
67     vehicleSpeed(i) = vehicleSpeed(i-1) + (V_lim - vehicleSpeed(i-1)) * (1 - exp(-dt/
68         tau)); % Velocit del veicolo
69
70
71     % Calcolo della forza frenante
72     brakeForce(i) = abs(sin(steeringAngles(i))); % Forza frenante
73
74     % Calcolo della velocit angolare del veicolo
75     omega_vehicle = vehicleSpeed(i) / radiusCurvature(i);
76
77     % Velocit delle ruote posteriori
78     wheelSpeedLeft(i) = (vehicleSpeed(i) - 0.5 * omega_vehicle * vp.t2) / (2 * pi *
79         wheelRadius) * 60;
80     wheelSpeedRight(i) = (vehicleSpeed(i) + 0.5 * omega_vehicle * vp.t2) / (2 * pi *
81         wheelRadius) * 60;
82
83     % Velocit delle ruote anteriori (considerando lo slip)
84     wheelSpeedLeftFront(i) = wheelSpeedLeft(i) * (1 - slip_ratio);
85     wheelSpeedRightFront(i) = wheelSpeedRight(i) * (1 - slip_ratio);
86
87     % Calcolo dell'accelerazione longitudinale e laterale
88     accelLong = (vehicleSpeed(i) - vehicleSpeed(i-1)) / dt; % Accelerazione
89         longitudinale
90     accelLong = max(min(accelLong, mu * g), -mu * g); % Limita l'accelerazione
91         longitudinale
92
93     accelLat = min((vehicleSpeed(i)^2 / radiusCurvature(i)) * sign(steeringAngles(i))
94         , mu * g); % Accelerazione laterale
95     accelLat = max(min(accelLat, mu * g), -mu * g); % Limita l'accelerazione laterale
96
97     accelerometerXYZ(i, :) = [accelLong, accelLat, 0]; % Accelerometro
98 end
99
100 %% Calcolo distribuzione coppia
101 for i = 1:num_points
102     [torqueLeft(i), torqueRight(i)] = controlTorqueDistributionNessy3...
103         wheelSpeedLeft(i), wheelSpeedRight(i), wheelSpeedLeftFront(i),
104             wheelSpeedRightFront(i), ...
105             steeringAngles(i), accelerometerXYZ(i, :), brakeForce(i);
106
107     % Controllo per evitare coppie nulle o non valide
108     if torqueLeft(i) == 0 || torqueRight(i) == 0
109         fprintf('Zero torque at i=%d: Curv=%f, Steer=%f, SpeedL=%f, SpeedR=%f\n',
110             i, curvature(i), steeringAngles(i), wheelSpeedLeft(i),
111                 wheelSpeedRight(i));
112     end
113 end
114
115 %% Visualizzazione
116 figure('Name', 'Analisi del veicolo', 'NumberTitle', 'off', 'Position', [100 100 1200
117     800]);
118 subplot(3, 2, 1);

```

```

109 plot(steeringAngles, 'g-', 'LineWidth', 2);
110 title('Angolo di sterzata'); xlabel('Punti'); ylabel('[rad]'); grid on;
111
112 subplot(3, 2, 2);
113 plot(wheelSpeedLeft, 'm-', 'LineWidth', 2); hold on;
114 plot(wheelSpeedRight, 'c-', 'LineWidth', 2);
115 title('Velocit delle ruote'); xlabel('Punti'); ylabel('[rpm]');
116 legend('Ruota sinistra', 'Ruota destra'); grid on;
117
118 subplot(3, 2, 3);
119 plot(accelerometerXYZ(:, 2), 'k--', 'LineWidth', 2);
120 title('Accelerazione laterale'); xlabel('Punti'); ylabel('[m/s^2]'); grid on;
121
122 subplot(3, 2, 4);
123 plot(brakeForce, 'r-', 'LineWidth', 2);
124 title('Forza frenante'); xlabel('Punti'); ylabel('[N]'); grid on;
125
126 subplot(3, 2, [5, 6]);
127 plot(torqueLeft, 'r-', 'LineWidth', 2); hold on;
128 plot(torqueRight, 'g-', 'LineWidth', 2);
129 title('Distribuzione della coppia'); xlabel('Punti'); ylabel('[Nm]');
130 legend('Coppia sinistra', 'Coppia destra'); grid on;
131
132 figure;
133 plot(x_interp, y_interp, 'k-', 'LineWidth', 2); hold on;
134 scatter(x_interp, y_interp, 20, steeringAngles, 'filled');
135 colorbar; title('Percorso con angoli di sterzata');
136 axis equal;

```

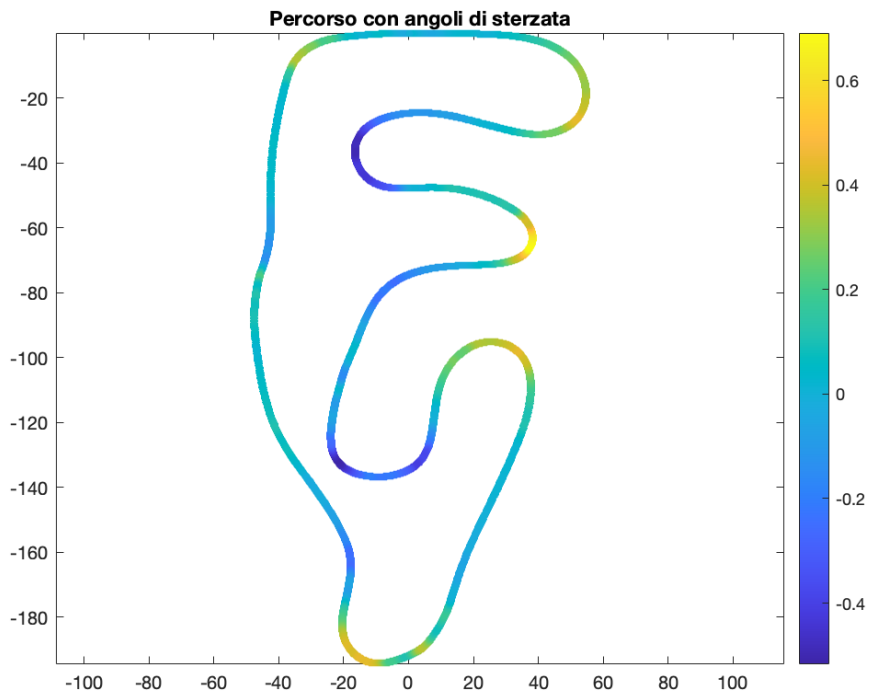
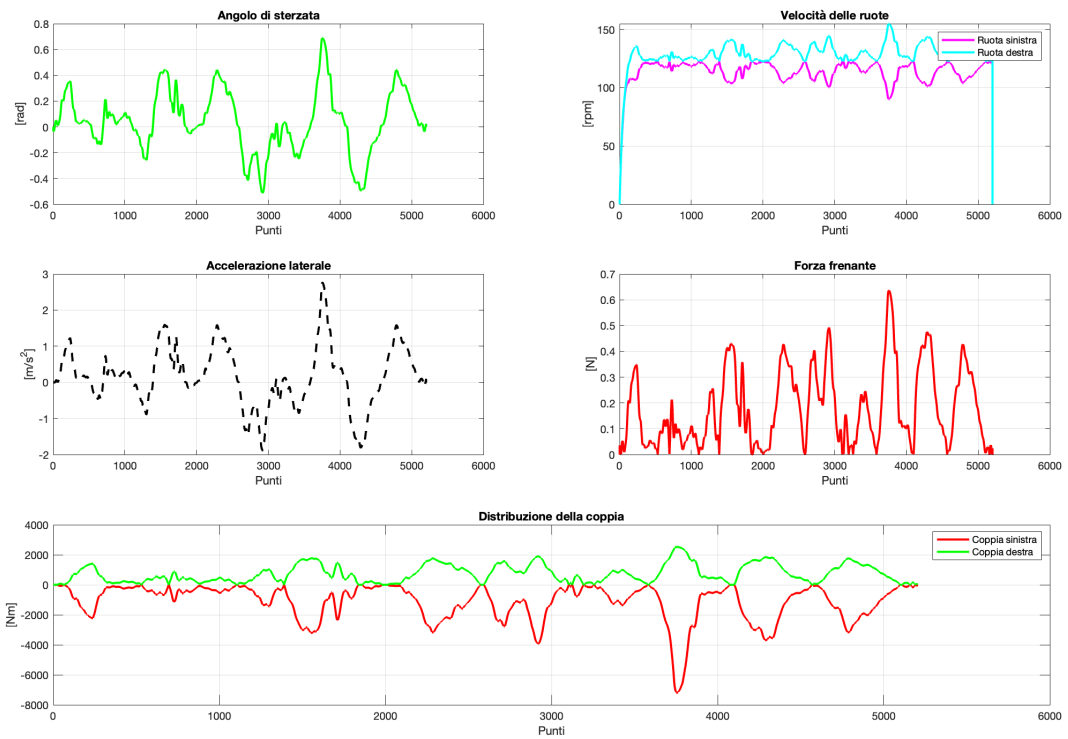


Figure 1.1: Tracciato di Hockenheim, scalato cromaticamente rispetto agli angoli di curvatura tenuti nel test



## 1.6 Obiettivo raggiunto?

1.6.1 si, a che livello?

1.6.2 no, perché ?

# Chapter 2

## Capitolo 2

### 2.1 Analisi telemetria test

In questa sezione saranno analizzati i dati delle telemetrie rilevati in diversi contesti. Considerazioni iniziali:

- In condizioni ideali l'andamento del calore dovrebbe essere una curva del tipo

$$\gamma(t) = ke^{\frac{t}{T}}, \quad k = \text{temperatura di regime alla quale il motore si dovrebbe stabilizzare.}$$

Questo profilo però, viene assunto in un quantitativo di tempo molto maggiore di quello impiegato nei test.

- di conseguenza l'unica parte da noi visibile e computabile è quella di ascesa iniziale che può essere interpretata come una retta.

Ovvero "linearizzando" possiamo associare ad ogni test una retta e confrontare queste.

In questo modo dovremmo creare 2 gruppi ben distinti, uno per il raffreddamento acceso con rette a pendenza minore e uno a raffreddamento spento con rette più ripide.

#### 2.1.1 Buti 24/11/2024

I test sono stati svolti nel parcheggio del "PENNY" di Cascine di Buti in data 24/11/2024. La temperatura media esterna era  $T_{amb} \sim 9^\circ\text{C}$ .

In questa giornata di test doveva essere quello di studiare il riscaldamento dei motori a raffreddamento acceso e spento per capire l'effettiva necessità di quest'ultimo.

Purtroppo per problemi tecnici l'auto non ha potuto viaggiare a raffreddamento spento per un tempo prolungato e questo ha limitato l'efficacia del test.

In questo test abbiamo preso come riferimento il motore destro (il sinistro rimane costantemente circa 2/3 gradi sotto) riportando:

- $T_{max} \sim 39.9^\circ\text{C}$
- $\Delta T_{alminuto,Cooling:ON} = 2.24^\circ\text{C}/\text{min}$
- $\Delta T_{alminuto,Cooling:OFF} = 4.65^\circ\text{C}/\text{min}$
- $m_{Motortr, Cooling:ON} \sim 0,051$
- $m_{Motortr, Cooling:OFF} \sim 0,068$

Possiamo quindi concludere che il riscaldamento del motore avviene più veloce del 33% a raffreddamento spento rispetto che a raffreddamento acceso.

#### 2.1.2 Buti 20/11/2024

I test sono stati svolti nel parcheggio del "PENNY" di Cascine di Buti in data 20/11/2024. La temperatura media esterna era  $T_{amb} \sim 11^\circ\text{C}$ .

In questa giornata di test l'obiettivo è stato quello di studiare il comportamento della macchina andando a cambiare diverse mappe motore.

In alcuni casi il raffreddamento è stato spento e possiamo riportare le seguenti considerazioni:

In questo test abbiamo preso come riferimento il motore destro (il sinistro rimane costantemente circa 2/3 gradi sotto) che ha riportato:

- $T_{max} \sim 44.6^\circ\text{C}$
- $\Delta T_{media, Cooling:ON} = 3,01^\circ\text{C}/\text{min}$
- $\Delta T_{media, Cooling:OFF} = 4.01^\circ\text{C}/\text{min}$
- $m_{Motortr, Cooling:ON} \sim 0,037$
- $m_{Motortr, Cooling:OFF} \sim 0,077$

Possiamo quindi concludere che il riscaldamento del motore avviene il doppio più veloce a raffreddamento spento rispetto che a raffreddamento acceso.

### 2.1.3 Dati Competizioni 2023/2024

I test/gare sono stati svolte in condizioni esterne variabili nell'arco dei mesi di Luglio, Agosto e Settembre, quindi possiamo ipotizzare una temperatura esterna media di circa  $30^\circ\text{C}$ .

Notiamo che il test con la migliore resa è quello dell'Endurance di Varano con alla guida il pilota Lecci dove la macchina ha avuto modo di riprodurre il grafico completo in un arco temporale di circa  $1025\text{s}$  raggiungendo la temperatura di regime di  $51^\circ\text{C}$ .

In questo test come considerato nel relativo file il motore ha descritto un grafico riconducibile a:

$$T(t) = T_{amb} + (T_{max} - T_{amb})e^{\frac{k}{t}},$$

con  $k$  coefficiente di "dispersione" termica.

IDEA:  $51^\circ\text{C}$  di regime con  $30^\circ\text{C}$  fuori vuol dire un  $\Delta T$  di  $20^\circ\text{C}$  che se fatto a Buti porta la temperatura di regime a circa  $20 + 10^\circ\text{C}$  gradi.

Consideriamo quindi il caso di Cooling:OFF il  $\Delta T$  sarà incrementato del 75% e utilizzando

$$T_{regime} = T_{amb} + \Delta T_{Cooling:OFF}$$

la temperatura di regime passerebbe da  $51^\circ\text{C}$  a  $30 + 20 * (1 + 0.75)^\circ\text{C} = 65^\circ\text{C}$ .

Un altro dato utile che possiamo estrarre dalle telemetrie delle gare è la temperatura massima  $T_{max} = 54.9^\circ\text{C}$ . Ottenuta a Buti dal pilota Battistini.

Stima al volo: considerando  $T_{max} = T_{amb} + \Delta T$  si dipanano 4 casi:

- Il test è stato svolto in inverno ( $T_{amb} \sim 10^\circ\text{C}$ ):
  - Cooling ON: MESSI MALE, se così fosse il  $\Delta T$  sarebbe di circa  $45^\circ\text{C}$  quindi in estate sarebbe possibile toccare i  $30 + 45^\circ\text{C}$ .  
Questa temperatura non è critica ma è comunque considerevole.
  - Cooling OFF: Situazione migliore che a raffreddamento acceso ma comunque da controllare in quanto se quel valore si ripresentasse il estate con gli aumenti le variazioni di temperatura visti a raffreddamento spento, si potrebbe raggiungere valori di temperatura critici.
- Il test è stato svolto in estate ( $T_{amb} \sim 30^\circ\text{C}$ ):
  - Cooling ON: I valori sono coerenti con quanto già visto e sono minori di quanto registrato nel Endurance di Varano.
  - Cooling OFF: I valori sono coerenti con quanto già visto e sono minori di quanto registrato nel Endurance di Varano.

# Chapter 3

## Capitolo 3

### 3.1 Miglioramenti per il prossimo anno

#### 3.1.1 consigli che sono venuti in mente dopo

Fuggire!!

#### 3.1.2 errore di base da non ripetere

ChatGPT non capisce un cazzo!